

مدل سازی و محاسبه شار حرارتی ناشی از اعمال آلبدو و تابش مادون قرمز وارد شده به ماهواره بر حسب موقعیت جغرافیایی

بهزاد محصل افشاری^{۱*}، جواد حق شناس^۲، محسن عابدی^۳ و مسعود خوش سیمای^۴

۱-۴. پژوهشکده سامانه های ماهواره، پژوهشگاه فضایی ایران

*تهران، کدپستی: ۱۹۹۷۹۹۴۳۱۳

b.afshari@isrc.ac.ir

در این مقاله، یک روش محاسباتی دقیق برای تعیین شار حرارتی آلبدو و مادون قرمز (IR) تابیده شده بر ماهواره ارائه شده است. برای محاسبه شار آلبدو وارد شده به ماهواره، نقطه ای از سطح زمین که نور خورشید از آن مکان بازتابیده شده است به صورت دقیق تعیین شده و مقدار شار حرارتی آلبدو وارده بر ماهواره به صورت تابعی از طول و عرض جغرافیایی و ارتفاع ماهواره و با در نظر گرفتن مقدار جذب ناشی از محیط اتمسفر در تمامی بازه طیف فرکانسی مورد نظر به دست آورده می شود. همچنین شار حرارتی کل IR وارده به ماهواره، مجموع شارهای حرارتی است که از نقاط مختلف سطح زمین به ماهواره وارد شده است. برای یک ماهواره در مدار دایروی مشخص، شار حرارتی IR و آلبدو در یک بازه زمانی محاسبه شده است. به منظور به دست آوردن تغییرات دمایی اجزای ماهواره در طول مأموریت، مقادیر شارهای حرارتی محاسبه شده در طراحی حرارتی ماهواره مورد استفاده قرار می گیرد. برای مدل سازی و محاسبه پارامترهای اصلی اتمسفر از الگوریتم MODTRAN و نرم افزار PcModWin استفاده شده است.

واژه های کلیدی: ماهواره، اتمسفر، شار خورشیدی، آلبدو، تشعشع مادون قرمز، ضریب دید، ضریب عبور، الگوریتم MODTRAN

\vec{r}_P نشان دهنده بردار موقعیت نقطه P نسبت به زمین
R شعاع زمین
 φ و عرض جغرافیایی مرکز سطح امان
 $F_{P_i, Sat}$ متغیر ضریب دید نقطه ای P_i نسبت به ماهواره

مقدمه

به منظور اطمینان از صحت عملکرد هر یک از اجزای ماهواره در زمان مأموریت، دامنه تغییرات دمایی هر یک از قطعات می بایست در محدوده مجاز تعیین شده قرار گرفته شود. شار حرارتی که بر سطوح ماهواره وارد می شوند شامل شار حرارتی خورشیدی، شار آلبدو و شار حرارتی فروسرخ (IR) تابیده شده از زمین است. شار

علائم و اختصارات

IR	Infra Red
MODTRA	MODerate resolution atmospheric
N	Transmission
ASTM	American Society for Testing and Materials
LEO	Low Earth Orbit
r_{Sat}	بردار موقعیت ماهواره نسبت به مرکز زمین

۱. دکتری (نویسنده مخاطب)

۲. دکتری

۳. دکتری

۴. استادیار

حرارتی آلبدو بخشی از شار حرارتی خورشیدی است که به صورت بازتابش نور خورشید از سطح زمین به ماهواره وارد می‌شود. مقدار شار حرارتی مادون قرمز تابیده شده به ماهواره تابعی از دما و ضریب تشعشع (اپسیلون) سطح زمین است. این شار حرارتی ناشی از مجموع آثار شار حرارتی هر یک از نقاطی است که در نقطه‌ی دید ماهواره هستند. شار حرارتی آلبدو و IR بعد از تضعیف و پراکنده شدن توسط اتمسفر به سطح ماهواره وارد می‌شوند. هدف از انجام این تحقیق، به دست آوردن مقدار دقیق شار حرارتی IR و آلبدو وارد شده بر یک ماهواره با در نظر گرفتن موقعیت ماهواره بر حسب طول و عرض جغرافیایی و ارتفاع ماهواره و مقدار جذب اتمسفر با در نظر گرفتن توزیع فرکانسی نور تابیده شده است.

در مطالعات انجام شده توسط وارک و همکاران [۱] با استفاده از ماهواره‌ی هواشناسی تیروس-۲؛ با استفاده از تصاویر ماهواره‌ای و روش معرفی شده، مقدار شار حرارتی مادون قرمز منتشر شده از سطح زمین به دست آورده شده است [۱]. اوزونوف و همکاران با بررسی شار حرارتی تشعشعی حرارتی در گسل‌های زمین، تغییرات شار حرارتی مادون قرمز زمین را قبل و بعد از وقوع زلزله‌های بزرگ بررسی نموده‌اند. مطابق این تحقیق، توزیع شار حرارتی زمین قبل از زلزله در مناطق نزدیک وقوع دارای کانتورهای ناهمگونی دما می‌شود [۲]. چن و همکاران در تحقیقی که در زمینه محاسبه‌ی شار حرارتی تشعشعی از زمین انجام داده‌اند، مقدار شار تشعشعی مادون قرمز زمین را با استفاده از نتایج ماهواره ایرس بدست آورده شده است [۳]. در تحقیقات انجام شده توسط هی ریو و همکاران، وجود ابر در آسمان با استفاده از مقدار شار حرارتی تشعشعی زمین بررسی شده است [۴]. دکتر خانیکی و همکاران مقدار شار تشعشعی وارده به ماهواره را با استفاده از داده‌های دمایی سنسورهای متصل به ماهواره و موقعیت و وضعیت ماهواره تخمین زده است [۵]. پرایس در تحقیق انجام داده شده با استفاده از مقادیر اندازه‌گیری شده‌ی شار حرارتی مادون قرمز، مقدار تبخیر سطحی در مناطق مختلف کره زمین را بدست آورده است [۶]. گیلور با استفاده از نتایج نیمه تحلیلی برای ماهواره‌ها با مدارهای متفاوت، مقادیر متوسط برای شار حرارتی IR و آلبدو را برای تحلیل حرارتی فضاپیماها پیشنهاد داده است [۷]. در بررسی‌های انجام شده توسط کونور، مقدار ضریب آلبدو توسط ماهواره تیروس بررسی شده و تأثیر وجود ابر و عوارض زمینی بر مقدار آلبدو بازتابش شده به دست آورده شده است [۸]. در زمینه مدل‌سازی آلبدو تحقیقات مختلفی انجام شده است. ایان و همکاران با استفاده از داده‌های ماهواره‌های سنجشی در نواحی مختلف زمین، ضریب آلبدو با طیف فرکانسی ۶۰

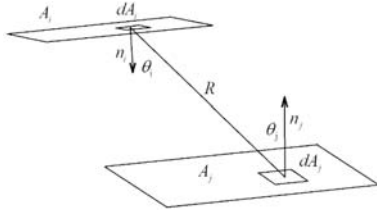
میکرون را مورد بررسی قرار داده‌اند و تغییرات شدت تشعشع را در فصل‌ها و قاره‌های مختلف بدست آورده‌اند [۹]. تاوو و همکاران، تغییرات مقدار ضریب آلبدو اندازه‌گیری شده از ماهواره‌های مختلف در طول سال‌های مختلف را بررسی کرده و با استفاده از نتایج به دست آمده، تغییرات آب و هوایی کره زمین را مورد بررسی قرار داده‌اند [۱۰]. ووتر با بررسی تغییرات مقدار ضریب آلبدو در مناطق قطبی گرینلند، وسعت مناطق یخی را در این منطقه بررسی کرده است [۱۱]. وانگ با استفاده از مدل معرفی شده، ضریب آلبدو در مناطق قطبی را پیش‌بینی نموده و نتایج را با استفاده از نتایج به دست آمده از ماهواره‌های سنجشی مورد بررسی قرار داده است [۱۲]. مارتین در بررسی‌ای که بر نیروهای وارد شده بر ماهواره انجام داده است، تأثیر ضریب آلبدو را بر مقدار نیروی اغتشاشی وارد شده بر ماهواره لجیوس مورد بررسی قرار داده است [۱۳]. ددیو از یک مدل فیزیکی برای به دست آوردن مقدار آلبدو در مدل‌سازی حرارتی استفاده کرده و مقادیر به دست آمده برای شارهای حرارتی را از شبیه‌سازی و مدل‌سازی برای نواحی مختلف زمین را بررسی کرده‌اند [۱۴]. در این تحقیق یک روش دقیق برای محاسبه‌ی شارهای حرارتی زمین به ماهواره ارائه شده است. برخلاف روش‌های قبلی که سطح زمین را با خواص تشعشعی ثابت در نظر گرفته شده است، در این تحقیق خواص تشعشعی سطح زمین را به صورت تابعی از طول و عرض جغرافیایی زمین در نظر گرفته و با توجه به موقعیت ماهواره و نحوه قرارگیری قاره‌ها، مقدار شار حرارتی محاسبه می‌گردد. از مزایای در نظر گرفتن یک روش دقیق برای محاسبه شارهای حرارتی وارده به ماهواره در این است که با بهبود فرآیند طراحی، می‌توان حاشیه اطمینان‌های در نظر گرفته شده در طراحی اجزای ماهواره را کاهش داد. به عنوان مثال مقدار گرمکن‌های استفاده شده در ساختار ماهواره را به حداقل مقدار ممکن رسانید و بدین ترتیب موجبات کاهش وزن ماهواره را فراهم نمود.

مدل‌سازی شار حرارتی IR

به منظور بدست آوردن مقدار کل شار حرارتی وارده به ماهواره، کلیه‌ی نقاطی از سطح زمین که در نقطه‌ی دید ماهواره هستند باید یافته شده و به دقت ضریب دید هر نقطه نسبت به ماهواره تخمین زده شوند. این ضرایب دید بیانگر بخشی از امواج تشعشعی است که از سطح مورد نظر در زمین به ماهواره اعمال می‌شود. در زمان عبور شار تشعشعی از اتمسفر، مقداری از شار حرارتی مادون قرمز توسط عناصر و ترکیبات موجود در ساختار اتمسفر جذب می‌شود. به منظور بدست آوردن مقدار کل شار حرارتی وارده به ماهواره، میانگین ده ساله‌ی شار IR از سطح زمین در نقاط مختلف از مرجع کتابخانه‌ای

$$F_{i,j} = \frac{1}{A_i} \iint_{A_i A_j} \frac{\cos(\theta_i) \cos(\theta_j)}{\pi R^2} dA_i dA_j \quad (1)$$

در این رابطه، A_i و A_j مساحت سطح جسم i و j و زاویه θ_i و θ_j برابر با زاویه‌ی ایجاد شده مابین بردار نرمال سطح i و j با خط واصل مرکز سطوح است. در شکل ۲ زاویه‌های ذکر شده نشان داده شده است.



شکل ۲- معرفی بردارهای نرمال و زاویه‌ها در فاکتور دید

در این مقاله به دلیل ناچیزبودن مساحت اجزای ماهواره نسبت به فاصله‌ی ماهواره از زمین، ماهواره به صورت یک نقطه در نظر گرفته شده است. لذا برای محاسبه‌ی ضریب دید خواهیم داشت.

$$F_{i,j} = \int_{A_j} \frac{\cos(\theta_i) \cos(\theta_j)}{\pi R^2} dA_j \quad (2)$$

به منظور محاسبه‌ی شار حرارتی کل وارد شده به ماهواره، سطح زمین به تعدادی نقطه تقسیم شده است به گونه‌ای که در راستای طول جغرافیایی به N قسمت مساوی و در جهت عرض جغرافیایی به M قسمت مساوی تقسیم گردد. مساحت هر یک از المان‌های تقسیم شده برابر است با

$$dA = \frac{R^2 \cos(\varphi)}{M \times N} \quad (3)$$

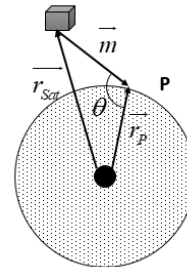
که در آن R شعاع زمین و φ عرض جغرافیایی مرکز سطح المان در نظر گرفته شده می‌باشد.

در شکل ۳، مقدار متوسط تابش مادون قرمز به صورت مقدار میانگین ده ساله در نقاط مختلف کره‌ی زمین نشان داده شده است [۸]. همان طور که مشاهده می‌شود، مقدار این متغیر در مناطق قطبی دارای کمترین مقدار بوده و در مناطق کویری نزدیک خط استوا بیشترین مقدار را به خود اختصاص داده است. به صورت کلی با فاصله گرفتن از خط استوا، مقدار شار تشعشی کاهش می‌یابد.

ناسا استخراج شده است [۱۵]. با در نظر گرفتن ضریب عبور و ضریب دید هر یک از نقاط متناظر بر روی زمین نسبت به ماهواره، مقدار کل شار حرارتی مادون قرمز به ماهواره محاسبه می‌گردد.

در این مقاله یک روش جدید برای مدل‌سازی حرارتی ماهواره در نظر گرفتن شرایط اتمسفر و خصوصیات بازتابش طیفی نقاط مختلف سطح زمین ارائه شد. به منظور استفاده از روش معرفی شده، یک ماهواره نوعی در مدار دایروی با ارتفاع ۵۰۰ کیلومتری و زاویه‌ی میل مداری ۵۵ درجه در نظر گرفته شده است. برای ماهواره مورد نظر با استفاده از این روش شار حرارتی IR و آلوده محاسبه شده است.

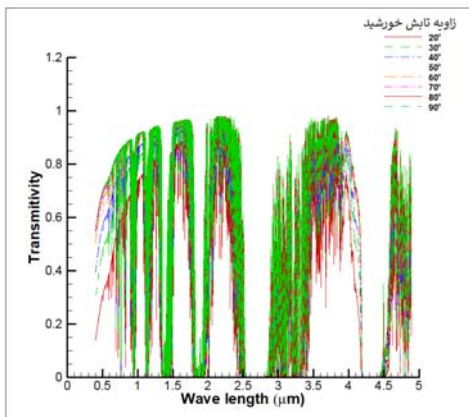
برای یک ماهواره با موقعیت مشخص، بخشی از سطح زمین از ماهواره قابل رؤیت است. برای به دست آوردن مقدار کل شار حرارتی IR وارده بر ماهواره، این بخش از سطح زمین می‌بایست به صورت دقیق تعیین شده و تأثیر هر جزء بر روی شار کل مادون قرمز وارد شده به ماهواره محاسبه گردد. در شکل ۱ موقعیت یک ماهواره نوعی و نقطه‌ی P به عنوان یک نقطه‌ی نمونه بر روی سطح زمین نشان داده شده است. بردار \vec{r}_{Sat} نشان‌دهنده‌ی بردار موقعیت ماهواره نسبت به مرکز زمین و بردار \vec{r}_P نشان‌دهنده‌ی بردار موقعیت نقطه‌ی P نسبت به زمین است.



شکل ۱- بردار موقعیت نقطه P و مکان ماهواره

زمانی که نقطه‌ی P در دید ماهواره باشد، زاویه‌ی θ دارای مقدار بزرگ‌تر از ۹۰ درجه خواهد شد. به منظور محاسبه‌ی نقاطی از زمین که در تابش IR به ماهواره تأثیرگذار هستند، سطح کره‌ی زمین به تعداد محدود نقطه تقسیم شده است و برای کلیه‌ی نقاط در نظر گرفته شده، در صورتی که $\vec{r}_{Sat} \cdot \vec{r}_P < 0$ برقرار باشد، نقطه P در محدوده‌ی دید ماهواره قرار خواهد گرفت و در محاسبه شار مادون قرمز وارده بر ماهواره در نظر گرفته می‌شود.

به کسری از شار تشعشی تابیده شده از سطح i که به سطح j وارد می‌شود، ضریب دید $(F_{i,j})$ گفته می‌شود. این متغیر تابعی از هندسه و وضعیت قرارگیری دو سطح نسبت به یکدیگر است که برای دو سطح i و j با استفاده از رابطه‌ی زیر به دست آورده می‌شود.



شکل ۵- تغییرات ضریب عبور نور از اتمسفر بر حسب طول موج برای زوایای تابشی مختلف به زمین

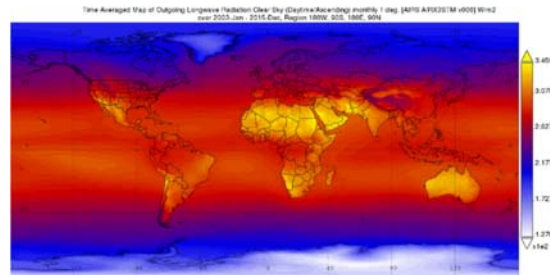
با کاهش زاویه‌ی تابش خورشیدی، مقدار ضریب عبور از اتمسفر کاهش می‌یابد که به دلیل افزایش طول مسیر عبوری نور خورشید و همچنین پدیده‌ی تفرق می‌باشد. به دلیل تغییر سرعت نور در لایه‌های مختلف اتمسفر به دلیل تغییر در چگالی، راستای نور خورشیدی وارد شده تغییر می‌نماید. در تحلیل‌های انجام شده، تاثیر زاویه‌ی مذکور در نظر گرفته شده است.

به منظور به دست آوردن مقدار شار حرارتی کل وارد شده به ماهواره، خواهیم داشت.

$$Q_{IR(earth-satellite)} = \int_{A_{seen\ surface}} q''_{P_i} F_{P_i, Sat} Tr(P_i) dA \quad (4)$$

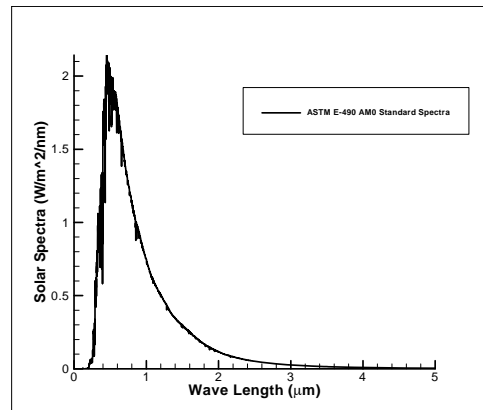
که در این رابطه، q''_{P_i} مقدار شار حرارتی مادون قرمز منتشر شده از زمین در نقطه‌ی P_i ، متغیر $F_{P_i, Sat}$ ضریب دید نقطه‌ی P_i نسبت به ماهواره و $Tr(P_i)$ مقدار ضریب عبور شار حرارتی IR در حین عبور از اتمسفر است. انتگرال مورد نظر می‌بایست بر روی کلیه نقاطی از سطح زمین که در دید ماهواره می‌باشد می‌بایست محاسبه شوند.

در شکل ۶ مقدار ضریب عبور در ناحیه‌ی مادون قرمز بر حسب فرکانس نشان داده شده است.



شکل ۳- مقادیر متوسط مادون قرمز برای نقاط مختلف کره‌ی زمین

به منظور محاسبه‌ی مقدار حرارت جذب شده در اتمسفر، شدت تابش نور خورشید بر حسب فرکانس در نظر گرفته شده است و مقدار عبور اتمسفر در فرکانسهای مختلف با استفاده از نرم‌افزار PcModWin الگوریتم MODTRAN به صورت تابعی از فرکانس و زاویه‌ی تابش به صورت دقیق مدلسازی شده است. شکل ۴ نشان‌دهنده‌ی توزیع رادیانس شار خورشیدی بر حسب فرکانس تشعشع مطابق استاندارد ASTM-E490 می‌باشد. همان‌طور که مشاهده می‌شود، مقدار شار خورشیدی در فرکانس ۰/۶۵ میکرومتر بیشترین مقدار را به خود اختصاص داده است و تقریباً کل شار خورشیدی مابین دو فرکانس ۰/۲ و ۴ میکرومتر قرار دارد. تغییرات ضریب عبور برای فرکانس‌ها و زوایای تابش مختلف در شکل ۵ نشان داده شده است. همان‌طور که مشاهده می‌شود، در برخی از فرکانس‌ها، ضریب عبور در یک ناحیه‌ی پنجره‌ای مقدار صفر را به خود اختصاص داده است که نشان‌دهنده‌ی جذب نور خورشید در فرکانس مورد نظر توسط اتمسفر است. بیشترین شار مادون قرمز انتشار داده شده از زمین در بازه فرکانسی Longwave IR قرار دارد که دارای طول موج ۸ تا ۱۵ میکرون است.

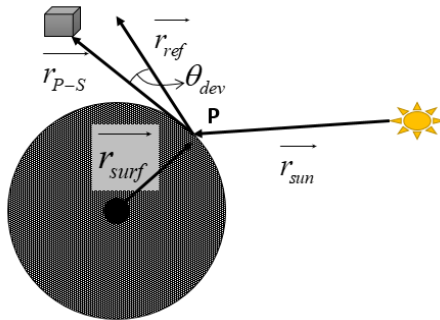


شکل ۴- توزیع رادیانس خورشیدی بر حسب طول موج مطابق استاندارد ASTM-E490

روی سطح زمین به دست آورده می‌شود. اگر راستای بازتابش نور در راستای خط واصل نقطه به ماهواره باشد، نقطه‌ی مورد نظر در سطح زمین به دست آورده می‌شود. با در نظر گرفتن بردار واصل نقطه‌ی سطح زمین (P) نسبت به مرکز زمین، r_{surf} و بردار واصل خورشید به نقطه مورد نظر، r_{sun} بردار بازتاب شده برابر خواهد بود با

$$\vec{r}_{ref} = 2\vec{r}_{surf} - \vec{r}_{sun} \quad (5)$$

اگر جهت بردار بازتابش و بردار واصل ماهواره به نقطه در یک راستا باشند، نقطه‌ی بازتاب‌کننده بدست آورده می‌شود و ضریب آلوده‌ی متناظر با آن نقطه در محاسبات حرارتی مورد استفاده قرار می‌گیرد. در شکل ۸ بردارهای فوق نشان داده شده‌اند.



شکل ۸- بردارهای تابش و بازتابش نور خورشید

به منظور تعریف معیار هم راستایی دو بردار ذکر شده، زاویه‌ی

ما بین بردار یک‌ه‌ی بردار بازتابش $n_{ref} = \frac{\vec{r}_{ref}}{|\vec{r}_{ref}|}$ و بردار یک‌ه‌ی

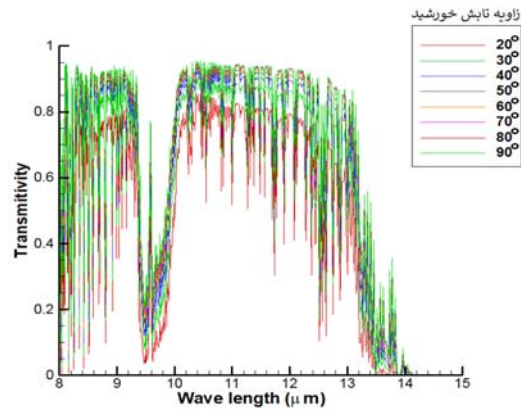
راستای خط واصل سطح زمین به ماهواره n_{P-S} (زاویه‌ی انحراف) در نظر گرفته می‌شود. بنابر این خواهیم داشت.

$$\theta_{dev} = \cos^{-1} \left(\frac{\vec{e}_{ref} \cdot \vec{e}_{P-S}}{|\vec{e}_{ref}| |\vec{e}_{P-S}|} \right) = \cos^{-1} \left(\vec{e}_{ref} \cdot \vec{e}_{P-S} \right) \quad (6)$$

اگر مقدار زاویه‌ی انحراف صفر باشد، به این مفهوم است که بازتابش نور خورشید در نقطه P بر روی سطح زمین به ماهواره وارد می‌شود. برای پیدا نمودن نقطه‌ی بازتابنده، زاویه‌ی انحراف برای همه‌ی نقاط در نظر گرفته شده بر روی زمین محاسبه شده و مقدار کمینه‌ی این زاویه به عنوان نقطه‌ی بازتابش در نظر گرفته خواهد شد.

به منظور محاسبه‌ی شار حرارتی آلوده وارد شده به ماهواره، با در نظر گرفتن ضریب بازتابش و توزیع شدت تابش خورشیدی در فرکانس‌های مختلف خواهیم داشت.

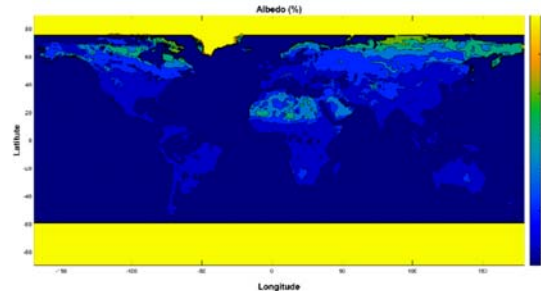
$$q_{alb} = \alpha_{alb} \left(X_p \right) \int_0^{\infty} q(\lambda) \tau(\lambda, \theta) d\lambda \quad (7)$$



شکل ۶- تغییرات ضریب عبور نور مادون قرمز برای زوایای تابش مختلف بر حسب طول موج نور

محاسبه‌ی شار حرارتی آلوده

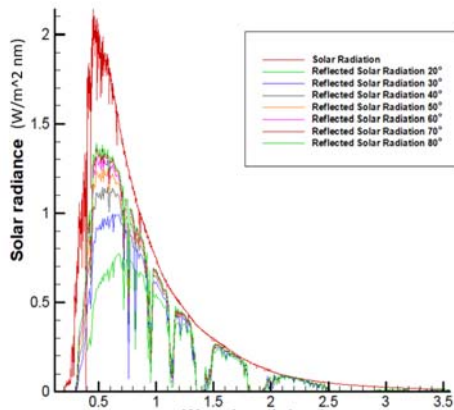
شار حرارتی آلوده بخشی از شار خورشیدی است که با بازتابش از سطح زمین به سطح ماهواره وارد می‌شود. مقدار بازتابش نور خورشید به پوشش سطحی، شرایط اتمسفر در زمان تابش و زاویه‌ی تابش بستگی دارد. ضریب آلوده سطوح مختلف زمین ثابت نیست. مقدار این ضریب از ۰/۷۵ در مناطق قطبی تا مقدار ۰/۰۶ در اقیانوس‌ها متغیر است. مقدار متوسط سالیانه ضریب آلوده برای طول عرض‌های جغرافیایی مختلف در شکل ۷، نشان داده شده است. به دلیل کمبود اطلاعات در نواحی قطبی، از مقدار متوسط ضریب آلوده سطوح برفی در نواحی قطبی استفاده شده است.



شکل ۷- کانتور توزیع ضریب آلوده در نقاط مختلف سطح کره زمین

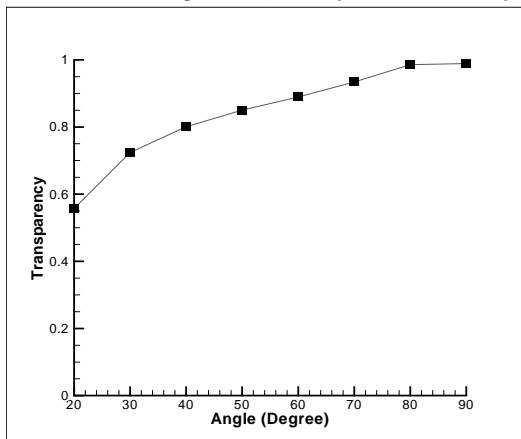
به منظور بررسی شار حرارتی آلوده تابیده شده به ماهواره، بازتابش نور خورشید از سطح زمین به صورت کاملاً آینه‌ای در نظر گرفته شده است. بدین منظور، در ابتدا محل جغرافیایی بازتابش نور خورشید در روی سطح زمین به دست آورده شده است. مقدار ضریب آلوده اعمال شده به ماهواره حاصلضرب ضریب آلوده در مکان بازتابش کننده در ضریب عبور اتمسفر است. به منظور پیدا کردن نقطه‌ی مورد نظر، راستای بازتابش نور خورشید در هر یک از نقاط

حسب طول موج نشان داده شده است. همان طور که مشاهده می‌شود مقداری از شار حرارتی ورودی خورشیدی به سطح زمین وارد می‌شود. مقدار شار حرارتی ورودی خورشیدی با کاهش زاویه‌ی ورودی نور خورشید، کاهش پیدا می‌کند. در نمودار فوق، زاویه‌ی ۹۰ درجه نشان‌دهنده‌ی حالتی است که نور با طی کمترین مسیر و به صورت عمود بر سطح زمین وارد شده است.



شکل ۱۰- توزیع رادیانس بازتابیده شده بر حسب طول موج برای زوایای تابشی مختلف

با استفاده از نتایج شکل ۱۰، مقادیر متوسط ضریب عبور نور خورشید با در نظر گرفتن ضریب وزنی رادیانس خورشیدی در فرکانس‌های مختلف محاسبه شده است. این متغیر به صورت تابعی از زاویه θ محاسبه شده و در شکل ۱۱ نشان داده شده است.



شکل ۱۱- تغییرات ضریب عبور میانگین بر حسب زاویه تابش

نتایج

نحوه محاسبه‌ی تغییرات شار حرارتی مادون قرمز و آلبدو که در بخش قبل اشاره شد به صورت خلاصه در شکل ۱۲ نشان داده شده

در این رابطه، $q_i(\lambda)$ مقدار شدت تشعشع خورشید (رادیانس) در طول موج مورد نظر و $\tau(\lambda, \theta)$ ضریب عبور نور از اتمسفر (مجموع تاثیر در ورود و خروج) به صورت تابعی از طول موج و زاویه اعمال شار خورشیدی می‌باشد. همان طور که در شکل ۴ مشاهده می‌شود، قسمت اعظم شار خورشیدی در بازه‌ی طول موج ۰,۵ تا ۴ میکرومتر می‌باشد. بنابر این ضریب آلبدو نهایی برای ماهواره برابر خواهد بود با

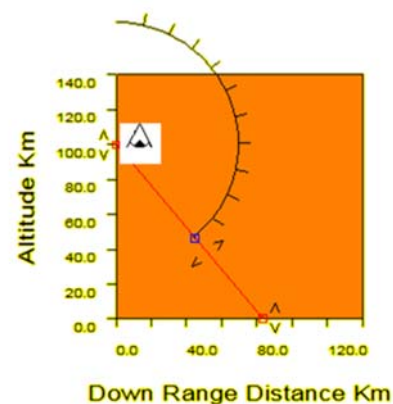
$$\alpha_{alb-Tot} = \alpha_{alb}(P)Tr(\theta) \quad (۸)$$

که

$$Tr(\theta) = \frac{\int_{0.5\mu m}^{4\mu m} q(\lambda)\tau(\lambda, \theta) d\lambda}{\int_{0.5\mu m}^{4\mu m} q(\lambda) d\lambda} \quad (۹)$$

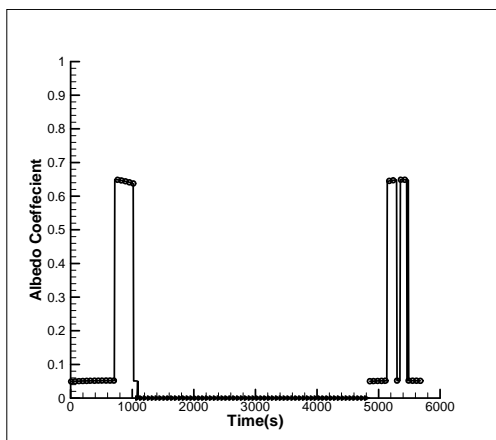
در معادله فوق P نشان‌دهنده‌ی مکان جغرافیایی نقطه بر روی سطح زمین است که نور خورشید در آن نقطه بازتابیده می‌شود. با استفاده از داده‌های عددی برای ضریب عبور و شار خورشیدی که قبلاً به آنها اشاره گردید، مقدار ضریب آلبدو کلی بدست آورده می‌شود که تابعی از نقطه‌ی بازتابش دهنده و زاویه‌ی ورودی خورشید می‌باشد.

در شکل ۹ مدل‌سازی اپتیکی انجام شده در نرم‌افزار PcModwin نشان داده شده است که با استفاده از آن ضریب عبور در بازتابش نور خورشید بدست آمده است. نتایج بدست آمده از این نرم‌افزار برای ارتفاع مداری بالای ۱۰۰ کیلومتر به دلیل کاهش شدید غلظت اتمسفر تغییر قابل ملاحظه‌ای ندارد. بنابراین برای مدل‌سازی نرم‌افزاری، ارتفاع ماهواره ۱۰۰ کیلومتر در نظر گرفته شده است.



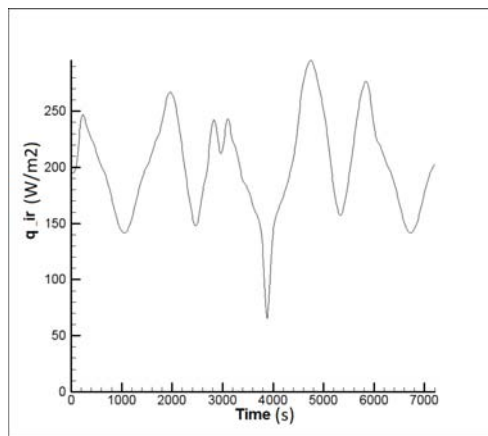
شکل ۹- هندسه مدل‌سازی برای زاویه ۴۰ درجه در نرم‌افزار PcModwin

با توجه به روش فوق، مقدار متغیر آلبدو برای زوایای مختلف محاسبه شده است. شکل ۱۰ نشان‌دهنده‌ی تغییرات ضریب عبور بر حسب زاویه تابش است. در این شکل توزیع شار خورشیدی بر



شکل ۱۴- تغییرات ضریب آلبدو وارد شده به ماهواره بر حسب زمان برای بازه زمانی پریود یک ماهواره نمونه

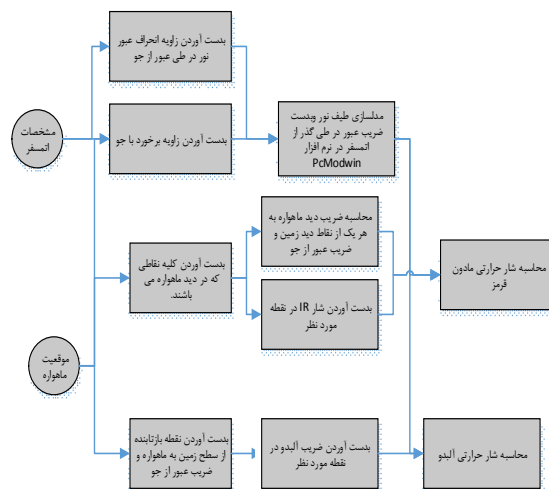
تغییرات شار حرارتی مادون قرمز در بازه زمانی در نظر گرفته شده نیز با استفاده از رابطه‌ی (۷) برای این ماهواره محاسبه شده است. شکل ۱۵ نشان‌دهنده‌ی مقدار تابش مادون قرمز وارد شده به ماهواره در زمان مأموریت مداری ماهواره‌ی فوق است.



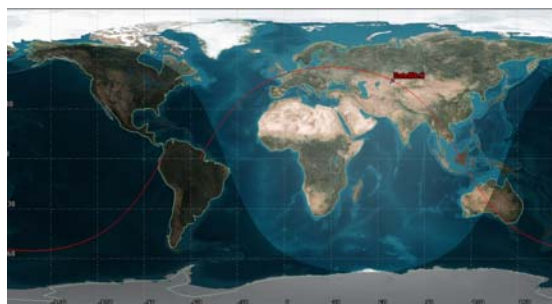
شکل ۱۵- مقادیر شار مادون قرمز دریافتی توسط ماهواره در نظر گرفته شده

همان‌طور که نشان داده شده است، مقادیر شار IR دریافتی توسط ماهواره، ۶۵ تا ۲۹۵ وات بر متر مربع و مقدار متوسط بدست آمده ۲۰۱ وات بر متر مربع به‌دست آورده شده است. گیلومر [۷] برای ماهواره‌ای با مشخصات مداری فوق، مقدار تشعشع مادون قرمز متوسط را ۱۹۳ وات بر مترمربع پیشنهاد داده است. مقدار محاسبه شده و مقدار مرجع در تطابق بسیار خوبی با یکدیگر هستند. گیلومر یک ماهواره را به عنوان نمونه در نظر گرفته است و مقدار شار مادون قرمز را برای آن محاسبه کرده است. در شکل ۱۶ تغییرات شار حرارتی بر حسب زمان برای ماهواره مفروض را نشان

است. همچنین شکل ۱۳ نشان دهنده‌ی رد زمینی مسیر حرکت ماهواره‌ی در نظر گرفته شده است.



شکل ۱۲- فلوجارت نحوه محاسبه‌ی شار حرارتی مادون قرمز و آلبدو

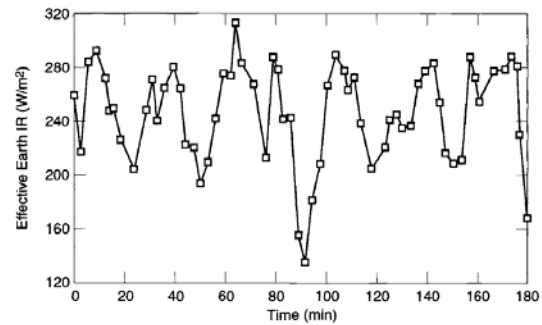


شکل ۱۳- مسیر حرکت یک ماهواره فرضی

برای این ماهواره، تغییرات ضریب آلبدو و شار حرارتی IR در مدت زمانی یک پریود محاسبه شده و مقادیر شارهای حرارتی مادون قرمز و آلبدو با در نظر گرفتن ناهمگونی سطح زمین و تغییرات خواص تشعشعی در نقاط مختلف محاسبه شد. شکل ۱۴ نشان‌دهنده‌ی تغییرات ضریب آلبدو بر حسب زمان گذر ماهواره است. همان‌طور که نشان داده شده است، در زمانی که ماهواره در بخش تاریک زمین قرار گرفته باشد، مقادیر آلبدو صفر در نظر گرفته خواهد شد. از آنجاکه قسمت اعظم سطح کره زمین، محیط اقیانوسی است، بنابراین در بخش اعظم مسیر حرکت ماهواره، مقدار ضریب آلبدو کل در حدود ۰/۰۶ محاسبه شده است.

- [3] Chen, X. and Huang, X., "Deriving Clear-Sky Long Wave Spectral Flux from Spaceborne Hyperspectral Radiance Measurement: A Case Study with AIRS Observations," *Journal of Atmospheric Measurement Techniques*, Vol. 9 2016, pp. 6013-6023.
- [4] Ryu, Y. H., Hodzic, A., Descombes, G., Hall, S., Minnis, P., Spangenberg, D., Ullmann, K. and Madronich, S., "Improved Modeling of Cloudy-Sky Actinic Flux Using Satellite Cloud Retrievals," *Geophysical Research Letters*, V.44, 2017, pp. 1592-1600.
- [5] Behrooz Khaniki H. and Hossein Karimian, S.M., Determining the Heat Flux Absorbed by Satellite Surfaces with Temperature Data, *Journal of Mechanical Science and Technology*, Vol. 28, No. 6, 2014, pp. 2393-2398.
- [6] C. Price, J., "Estimation of Regional Scale Evapotranspiration Through Analysis of Satellite Thermal-infrared Data," *Transactions on Geoscience and Remote Sensing*, Vol. 20, No. 3, July 1982.
- [7] G. Gilmore, D., *Spacecraft Thermal Control Handbook*, Vol. I: Fundamental Technologies.
- [8] H. Conover, J., "Cloud and Terrestrial Albedo Determination from TIROS Satellite Picture," *Journal of Applied meteorology*, Vol. 4, Issue 3, 1965, pp. 378-386.
- [9] Matthews, E. and B. Rossow, W., "Regional and Seasonal Variation of Surface Reflectance from Satellite Observation at 0.6 Micrometer," *Journal of Climate and Applied Meteorology*, Vol. 26, 1986.
- [10] He, T., Liang, Sh., Xia Song, D., "Analysis of Global Land Surface Albedo Climatology and Spatial-Temporal Variation During 1981-2010 from Multiple Satellite Products," *Journal of Geophysical Research: Atmospheres*, Vol. 119, No. 10, 2014, pp 291-298.
- [11] H. Knap, W. and Oerleamans, J., "The Surface Albedo of the Greenland Ice Sheet: Satellite-Derived and In Situ Measurements in the Sondre Stromfjord Area During the 1991 Melt Season," *Journal of Glaciology*, Vol. 42, No 141, 1996.
- [12] Wang, T., Peng, S., Krinner, G., Ryder, J., Li, Y., Dantec-Nédélec, S. and et al., "Impacts of Satellite-Based Snow Albedo, Assimilation on Offline and Coupled Land Surface Model Simulations," *PLOS ONE* Vol. 10, No. 9, 2015
- [13] Chreston F. Martin and David P. Rubincam, "Effects of Earth Albedo on the LAGEOS I Satellite" *Journal of Geophysical Research*, Vol. 101, No. B2, 1996, pp. 3215-3226.
- [14] Dedieu, G., Deshamps, P.Y., Keer, Y.H., "Satellite Estimation of Solar Irradiance at the surface of the Earth and of Surface Albedo Using a Physical Model Applied to Meteosat Data," *Journal of Climate and Applied Meteorology*, Vol. 26, 1987. pp. 79-87.
- [15] Available, [on line]: <https://ldas.gsfc.nasa.gov/gldas/>

داده شده است. دو نمودار ۱۵ و ۱۶ تقریباً مشابه یکدیگر بوده و نحوه‌ی تغییرات شار حرارتی مادون قرمز در هر دو حالت مشابه می‌باشد. از آنجاکه ماهواره‌های در نظر گرفته شده در مرجع با ماهواره مورد اشاره دارای مشخصات مداری مکان پرتاب یکسان نیستند، بنابراین عدم تطابق کامل دو نمودار، منطقی است.



شکل ۱۶- مقادیر شار مادون قرمز زمین در بازه‌ی سه ساعت برای یک ماهواره LEO نمونه [۷]

نتیجه‌گیری و مشاهدات

در این مقاله، یک روش محاسباتی برای بدست آوردن مقدار دقیق شار حرارتی مادون قرمز و آلبدو برای ماهواره یا هر نوع فضاپیما معرفی شد. با استفاده از روش معرفی شده، می‌توان مقدار شار حرارتی دقیق‌تری نسبت به حالتی که یک مقدار متوسط برای کل مدت مأموریت در نظر گرفته شده است را به‌دست آورد که سبب می‌شود با محاسبه‌ی دامنه‌ی تغییرات دمای اجزای داخلی و خارجی بخش‌های مختلف فضاپیما، مقدار دمای آن با دقت بهتری محاسبه شده که این امر سبب بهینه شدن طراحی حرارتی گردد.

مراجع

- [1] Wark, D.Q., Yamamoto, G. and Lienesch, J.H. "Methods of Estimating Infrared Flux and Surface Temperature from Meteorological Satellite," *Journal of the Atmospheric Sciences*, 1962, Vol.19. pp. 369-384
- [2] Ouzounov, D., Liu, D., Chunli, K. and Cervone, G., "Outgoing Long Wave Radiation Variability from IR Satellite Data Prior to Major Earthquakes," *Journal of technophysiscs*, Vol. 431, 2007, pp. 211-220.